

Симметрия и анизотропный оптический спектр экситонов с переносом заряда в модели CuO_2 -плоскости

© В.И. Черепанов, Е.Н. Кондрашов, А.С. Москвин

Уральский государственный университет,
620083 Екатеринбург, Россия

(Поступила в Редакцию 15 июля 1999 г.
В окончательной редакции 24 ноября 1999 г.)

Предложен способ теоретико-групповой классификации экситонных состояний с переносом заряда от одной элементарной ячейки в соседние для тетрагональной двумерной модели CuO_2 -плоскости. Определены ориентационные (анизотропия) и поляризационные (плеохроизм) зависимости интенсивностей экситонных дипольно-запрещенных оптических переходов. Теоретически рассмотрено явление "возгорания" во внешнем электрическом поле дипольно-запрещенных переходов и найдены общие зависимости вероятностей этих переходов от величины и направления электрического поля и состояния поляризации световой волны. Полученные зависимости могут быть использованы для идентификации слабых полос поглощения в диэлектрических купратах, содержащих CuO_2 -плоскости.

Тетрагональные $2D$ -слои CuO_2 входят в качестве фрагментов в структуру таких высокотемпературных сверхпроводников (ВТСП), как $\text{La}_2\text{CuO}_{4+y}$, $\text{La}_{2-x}\text{Sr}_x\text{CuO}_4$ и др. Поэтому изучение электронных (в том числе экситонных) возбуждений в $2D$ -модели CuO_2 представляет большой интерес. Этому вопросу посвящен ряд экспериментальных [1–5] и теоретических работ [6–12].

Элементарная ячейка $2D$ -модели CuO_2 содержит один атом меди и два атома кислорода. В основном состоянии на каждую ячейку приходится одна дырка в состоянии, которое, согласно различным теоретическим оценкам, содержит 70–80% $\text{Cu}3d_{x^2-y^2}$ -состояния. Световое облучение может вызывать перенос дырки в соседнюю ячейку с образованием "бездырочного" состояния в одной ячейке и "двухдырочного" синглетного состояния в соседней. Электростатическое взаимодействие связывает эти два состояния, а трансляционная симметрия решетки обуславливает движение такой синглетной пары через кристалл (так называемый экситон с переносом заряда [12]). Впервые экситон с переносом заряда был рассмотрен Оверхаузером [13]. Трансляционное движение экситона не сопровождается током.

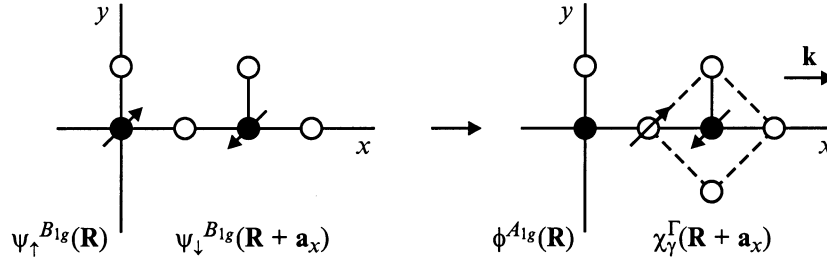
Поскольку имеется целый спектр энергий "двухдырочных" состояний ячейки, то в зависимости от того, какое из этих состояний образуется после возбуждения, будут возникать различные экситоны с переносом заряда. В силу того что перенос дырки возможен в одну из четырех соседних ячеек плоскости CuO_2 , имеем дополнительное вырождение, которое снимается за счет dp -гибридизации и электростатических взаимодействий. Определение типов симметрии экситонных состояний с переносом заряда, возникающих при заданной симметрии "двухдырочного" состояния Γ (Γ — неприводимое представление точечной группы симметрии D_{4h} $2D$ -решетки с центром на атоме меди) является одной из целей данной работы. Кроме того, необходимо заметить, что возможно существование экситонов, связанных с электронными переходами внутри элементарной ячейки

(в противоположность "двухъячеечным" экситонам, рассматриваемым в данной работе), которые по структуре напоминают френкелевские экситоны в кристаллах.

Фотопереходы из основного состояния кристалла в экситонное, как обычно, можно разделить на дипольно-разрешенные и дипольно-запрещенные. Если вероятности первых для $2D$ -модели зависят от направления поляризации света, то вероятности вторых зависят еще и от направления распространения света. Определение зависимостей вероятностей дипольно-запрещенных переходов от направлений поляризации (плеохроизм) и распространения света (анизотропия) являются другой целью работы. Хотя электроквадрупольные и магнитодипольные фотопереходы имеют намного меньшую вероятность, чем электродипольные, в ряде случаев они, по-видимому, наблюдались [3,6]. Кроме того, можно изучить дипольно-запрещенные фотопереходы, используя эффект их усиления ("возгорания") во внешнем электрическом поле [14–18]. Этот эффект недавно был обнаружен для двух слабых пиков поглощения 1.4 и 1.6 eV в $\text{La}_2\text{CuO}_{4+y}$ [18]. Третья часть настоящей статьи содержит вывод ориентационных (от направления электрического поля) и поляризационных (от направления поляризации световой волны) зависимостей вероятностей возгорающихся дипольно-запрещенных экситонных фотопереходов всех типов в $2D$ -модели слоя CuO_2 .

1. Типы симметрии синглетных экситонных состояний с переносом заряда в $2D$ -модели

Двумерная решетка слоя CuO_2 имеет группу симметрии $D_{4h} \times T$, где T — группа дискретных трансляций $\mathbf{t}_{nm} = n\mathbf{a}_x + m\mathbf{a}_y$, где \mathbf{a}_x , \mathbf{a}_y — базисные векторы, а n , m — целые числа. Пример синглетного экситонного состояния с переносом дырки из одной ячейки в другую схематически представлен на рисунке. Дырка перехо-



Образование экситона с переносом заряда. Дырка переходит между ионами меди и кислорода. Бездырочное и двухдырочное состояния соседних ячеек связаны и распространяются по решетке. Темный кружок – медь, светлый кружок — кислород. Слева — основное состояние, справа — экситонное состояние.

дит из состояния $\psi_{\uparrow}^{B_{1g}}(\mathbf{R})$ (например, это может быть $\text{Cu}3d_{x^2-y^2}$) в соседнюю ячейку с образованием двухдырочного состояния $\chi_M^{\Gamma}(\mathbf{R} + \mathbf{a}_x)$ (структура последнего состояния в дальнейшем не играет роли) и бездырочного состояния $\phi^{A_{1g}}(\mathbf{R})$, соответствующего полностью заполненным оболочкам. Волновые функции четырех вырожденных экситонных состояний с переносом дырки из ячейки \mathbf{R} в ячейку $\mathbf{R} + \boldsymbol{\tau}$ в нулевом приближении запишем в виде

$$\Psi_M^k(\boldsymbol{\tau}) = \frac{1}{\sqrt{N}} \sum_{\mathbf{R}} \exp(i\mathbf{k}\mathbf{R}) \phi^{A_{1g}}(\mathbf{R}) \times \left[\chi_M^{\Gamma}(\mathbf{R} + \boldsymbol{\tau}) \prod_{\boldsymbol{\tau}' \neq \boldsymbol{\tau}} \psi_{\downarrow}^{B_{1g}}(\mathbf{R} + \boldsymbol{\tau}') \right] \dots, \quad (1)$$

где $\boldsymbol{\tau} = \pm\mathbf{a}_x, \pm\mathbf{a}_y$, а точками отмечены произведения четверок волновых функций $\psi_{\downarrow}^{B_{1g}}$ или $\psi_{\uparrow}^{B_{1g}}$, относящихся к остальным конфигурационным сферам ячейки \mathbf{R} . Эти произведения для каждой сферы остаются инвариантными при преобразованиях кристалла под действием элементов \hat{g} точечной группы \mathcal{D}_{4h} с центром в произвольном узле \mathbf{R} , и поэтому могут быть опущены при рассмотрении свойств симметрии функций $\Psi_M^k(\boldsymbol{\tau})$. Γ и M в (1) — неприводимое представление группы \mathcal{D}_{4h} с центром в точке $\mathbf{R} + \boldsymbol{\tau}$ и его строка. Рассматривая действие преобразования \hat{g} на функцию (1), находим

$$\hat{g}\Psi_M^k(\boldsymbol{\tau}) = [X^{B_{1g}}(\hat{g})]^3 \sum_{M'} \mathcal{D}_{M'M}^{(\Gamma)}(\hat{g}) \Psi_{M'}^{\hat{g}\mathbf{k}}(\hat{g}\boldsymbol{\tau}),$$

где $X^{B_{1g}}$ — характеры неприводимого представления B_{1g} , а $\mathcal{D}^{(\Gamma)}$ — матрицы неприводимого представления Γ группы \mathcal{D}_{4h} . Поскольку $X^{B_{1g}}(\hat{g}) = \pm 1$, то можно записать

$$\hat{g}\Psi_M^k(\boldsymbol{\tau}) = X^{B_{1g}}(\hat{g}) \sum_{M'} \mathcal{D}_{M'M}^{(\Gamma)}(\hat{g}) \Psi_{M'}^{\hat{g}\mathbf{k}}(\hat{g}\boldsymbol{\tau}). \quad (2)$$

Для элементов, входящих в точечную группу волнового вектора $\mathfrak{J}_{\mathbf{k}}$, имеем $\hat{g}\mathbf{k} = \mathbf{k} \pm \mathbf{b}$ (где \mathbf{b} — вектор обратной решетки), т.е. в схеме приведенных волновых векторов

$$\hat{g}\Psi_M^k(\boldsymbol{\tau}) = X^{B_{1g}}(\hat{g}) \sum_{M'} \mathcal{D}_{M'M}^{(\Gamma)}(\hat{g}) \Psi_{M'}^{\mathbf{k}}(\hat{g}\boldsymbol{\tau}). \quad (3)$$

Отсюда характеры представления Γ_{ex} , построенного на базисе (1), равны

$$X^{\Gamma_{ex}}(\hat{g}) = X^{B_{1g}}(\hat{g}) X^{\Gamma}(\hat{g}) \sum_{\boldsymbol{\tau}} \delta_{\hat{g}\boldsymbol{\tau};\boldsymbol{\tau}}. \quad (4)$$

Сумма в (4) равна

$$\sum_{\boldsymbol{\tau}} \delta_{\hat{g}\boldsymbol{\tau};\boldsymbol{\tau}} = \begin{cases} 4, & \text{для } \hat{g} = E, IC_{4z}, \\ 2, & \text{для } \hat{g} = U_{2x}, U_{2y}, IU_{2x}, IU_{2y}, \\ 0, & \text{для остальных элементов группы } \mathcal{D}_{4h}. \end{cases}$$

Особый интерес представляет центр зоны Бриллюэна $\mathbf{k} = 0$, для которого $\mathfrak{J}_{\mathbf{k}=0} = \mathcal{D}_{4h}$. Определив характеры Γ_{ex} по (4) и разложив Γ_{ex} по неприводимым представлениям группы \mathcal{D}_{4h} , находим типы экситонных состояний с $\mathbf{k} = 0$

$$\begin{aligned} \Gamma = A_{1g}, B_{1g} : & \quad \Gamma_{ex} = A_{1g} + B_{1g} + E_u; \\ \Gamma = A_{2g}, B_{2g} : & \quad \Gamma_{ex} = A_{2g} + B_{2g} + E_u; \\ \Gamma = E_g : & \quad \Gamma_{ex} = A_{1u} + A_{2u} + B_{1u} + B_{2u} + 2E_g; \\ \Gamma = A_{1u}, B_{1u} : & \quad \Gamma_{ex} = A_{1u} + B_{1u} + E_g; \\ \Gamma = A_{2u}, B_{2u} : & \quad \Gamma_{ex} = A_{2u} + B_{2u} + E_g; \\ \Gamma = E_u : & \quad \Gamma_{ex} = A_{1g} + A_{2g} + B_{1g} + B_{2g} + 2E_u. \end{aligned} \quad (5)$$

Нетрудно также, используя формулу (4), провести теоретико-групповую классификацию состояний для любой симметричной точки в зоне Бриллюэна. Кроме того, обычным способом легко определить расщепление уровней при смещении из более симметричной точки в менее симметричную; например, при смещении из центра зоны вдоль оси C_{2x} происходит расщепление уровней: $A_{1g}(B_{1g}) \rightarrow A_1$, $A_{2g}(B_{2g}) \rightarrow B_1$, $E_g \rightarrow A_2 + B_2$, $A_{1u}(B_{1u}) \rightarrow A_2$, $A_{2u}(B_{2u}) \rightarrow B_2$, $E_u \rightarrow A_1 + B_1$ (справа указаны неприводимые представления группы волнового вектора C_{2v}).

Правильные волновые функции экситонных состояний являются линейными комбинациями функций (1)

$$\Psi_M^{\Gamma}(\mathbf{k}) = \frac{1}{\sqrt{N}} \sum_{\boldsymbol{\tau}} \sum_M C_{M,M,\boldsymbol{\tau}}^{\Gamma}(\mathbf{k}) \sum_{\mathbf{R}} \exp(i\mathbf{k}\mathbf{R}) \phi^{A_{1g}}(\mathbf{R}) \times \left[\chi_M^{\Gamma}(\mathbf{R} + \boldsymbol{\tau}) \prod_{\boldsymbol{\tau}' \neq \boldsymbol{\tau}} \psi_{\downarrow}^{B_{1g}}(\mathbf{R} + \boldsymbol{\tau}') \right] \dots \quad (6)$$

Коэффициенты C могут быть определены только при диагонализации гамильтониана. В дальнейшем явный вид функций $C_{MM,\tau}^{\tilde{\Gamma}}(\mathbf{k})$ нам не потребуются. В частном случае возбуждения вида $b_{1g\uparrow}, b_{1g\downarrow} \rightarrow b_{1g}^0(1A_{1g}), b_{1g}^2(1A_{1g})$ с образованием синглета Жанга–Райса $1A_{1g}$ из (5) имеем $\Gamma_{ex} = A_{1g} + B_{1g} + E_u$, что совпадает с результатом работы [12], где эти состояния обозначены соответственно $S + D + (P_1, P_2)$. Однако, кроме $1A_{1g}$, возможны и другие "двухдырочные" синглетные состояния комплекса CuO_4 , в частности $1A_{2g}, 1B_{1g}, 1B_{2g}, 1E_g$ и др. (см. [18]). Для каждого из них при $\mathbf{k} = 0$ должен существовать набор экситонных энергетических уровней в соответствии с разложениями (5). Согласно, например, расчетам [11], в щель переноса заряда должны попасть экситонные состояния типа $\tilde{\Gamma} = A_{2g}, B_{1g}, E_u$. Кроме того, в экспериментах по измерению энергетических потерь электронов (EELS) в $\text{Sr}_2\text{Cl}_2\text{CuO}_2$ были обнаружены бестоковые экситоноподобные возбуждения выше щели переноса заряда [4,12].

2. Анизотропия и плеохроизм экситонных фотопереходов

Волновая функция основного состояния системы имеет вид

$$\Psi_0 = \psi_{\uparrow}^{B_{1g}}(\mathbf{R}) \left[\prod_{\tau} \psi_{\downarrow}^{B_{1g}}(\mathbf{R} + \tau) \right] \dots, \quad (7)$$

где точками обозначены произведения функций $\psi_{\uparrow}^{B_{1g}}$ и $\psi_{\downarrow}^{B_{1g}}$ для более далеких от узла \mathbf{R} атомов меди. Очевидно, волновая функция Ψ_0 под действием $\hat{g} \in \mathcal{D}_{4h}$ преобразуется по B_{1g} . Вероятность оптического перехода из основного в экситонное состояние типа $\tilde{\Gamma}(\mathbf{k})$ определяется выражением

$$W(0 \rightarrow \tilde{\Gamma}(\mathbf{k})) = \alpha(\omega) \sum_{\tilde{M}} \left| \langle \Psi_{\tilde{M}}^{\tilde{\Gamma}}(\mathbf{k}) | \hat{H}_{eR} | \Psi_0 \rangle \right|^2, \quad (8)$$

где $\alpha(\omega) = (2\pi/\hbar)\rho(\omega)$, $\rho(\omega)$ — плотность излучения с частотой перехода ω , а \hat{H}_{eR} в линейном приближении по \mathbf{A} есть

$$\hat{H}_{eR} = -\frac{e}{mc} \sum_j (\mathbf{A}(\mathbf{r}_j) \hat{\mathbf{p}}_j). \quad (9)$$

Здесь \mathbf{A} — векторный потенциал электромагнитного поля, $\hat{\mathbf{p}}_j$ — оператор импульса j -го электрона системы. Полагаем

$$\mathbf{A}(\mathbf{R}) = A_0 \exp(i\mathbf{qR})\boldsymbol{\xi}, \quad (10)$$

где $\boldsymbol{\xi}$ — единичный вектор, указывающий направление поляризации световой волны. Подставляя (6), (9) и (10)

в матричный элемент (8), находим

$$\begin{aligned} \langle \Psi_{\tilde{M}}^{\tilde{\Gamma}}(\mathbf{k}) | \hat{H}_{eR} | \Psi_0 \rangle &= -\frac{e}{mc} A_0 \frac{1}{\sqrt{N}} \sum_{\tau} \sum_M \sum_{\mathbf{R}} C_{MM,\tau}^{*\tilde{\Gamma}}(\mathbf{k}) \\ &\times \exp(-i\mathbf{kR}) \langle \phi^{A_{1g}}(\mathbf{R}) \left[\chi_M^{\tilde{\Gamma}}(\mathbf{R} + \tau) \right. \\ &\times \left. \prod_{\tau' \neq \tau} \psi_{\downarrow}^{B_{1g}}(\mathbf{R} + \tau') \right] \dots \left| \sum_j \exp(i\mathbf{q}\mathbf{r}_j) (\boldsymbol{\xi} \hat{\mathbf{p}}_j) \right| \Psi_0 \rangle. \end{aligned}$$

Заметим, что слева и справа находятся многоэлектронные волновые функции, зависящие от координат \mathbf{r}_j электронов ($\phi^{A_{1g}}(\mathbf{R})$ зависит от разностей $(\mathbf{r}_j - \mathbf{R})$, $\chi_M^{\tilde{\Gamma}}(\mathbf{R} + \tau)$ — от разностей $(\mathbf{r}_j - (\mathbf{R} + \tau))$ и т.д.). Делая замену переменных $(\mathbf{r}_j \rightarrow \mathbf{r}_j + \mathbf{R})$ и учитывая инвариантность Ψ_0 при трансляции на \mathbf{R} , получаем

$$\begin{aligned} \langle \Psi_{\tilde{M}}^{\tilde{\Gamma}}(\mathbf{k}) | \hat{H}_{eR} | \Psi_0 \rangle &= \frac{B}{\sqrt{N}} \sum_{\mathbf{R}} \exp(i(\mathbf{q} - \mathbf{k})\mathbf{R}) \\ &\times \sum_{\tau} \sum_M C_{MM,\tau}^{*\tilde{\Gamma}}(\mathbf{k}) \langle \phi^{A_{1g}}(0) \left[\Psi_M^{\tilde{\Gamma}}(\tau) \right. \\ &\times \left. \prod_{\tau' \neq \tau} \psi_{\downarrow}^{B_{1g}}(\tau') \right] \dots \left| \sum_j \exp(i\mathbf{q}\mathbf{r}_j) (\boldsymbol{\xi} \hat{\mathbf{p}}_j) \right| \Psi_0 \rangle, \end{aligned}$$

где $B = -(eA_0)/(mc)$. Сумма $\sum_{\mathbf{R}} \exp(i(\mathbf{q} - \mathbf{k})\mathbf{R}) = N\delta_{\mathbf{k},\mathbf{q}}$ приводит к правилу отбора при фотопереходе: $\mathbf{k} = \mathbf{q}$.

Учитывая малость $q \ll 1/a$ для видимой и ИК областей спектра раскладывая экспоненту в ряд по степеням \mathbf{q} и сохраняя лишь члены до первого порядка малости включительно, находим

$$\begin{aligned} \langle \Psi_{\tilde{M}}^{\tilde{\Gamma}}(\mathbf{k}) | \hat{H}_{eR} | \Psi_0 \rangle &= B\sqrt{N} \delta_{\mathbf{k},\mathbf{q}} \sum_{\tau} \sum_M C_{MM,\tau}^{*\tilde{\Gamma}}(\mathbf{q}) \\ &\times \langle \phi^{A_{1g}}(0) \left[\Psi_M^{\tilde{\Gamma}}(\tau) \prod_{\tau' \neq \tau} \psi_{\downarrow}^{B_{1g}}(\tau') \right] \dots \left| (\boldsymbol{\xi} \hat{\mathbf{P}}) \right. \\ &\left. + i \sum_j (\mathbf{q}\mathbf{r}_j) (\boldsymbol{\xi} \hat{\mathbf{p}}_j) \right| \Psi_0 \rangle, \quad (11) \end{aligned}$$

где $\hat{\mathbf{P}} = \sum_j \hat{\mathbf{p}}_j$. Проводя обычные преобразования (см., например, [19,20]), получаем

$$\begin{aligned} \langle \Psi_{\tilde{M}}^{\tilde{\Gamma}}(\mathbf{k}) | \hat{H}_{eR} | \Psi_0 \rangle &= -i \frac{m\omega}{e} B\delta_{\mathbf{k},\mathbf{q}} \\ &\times \langle \Psi_{\tilde{M}}^{\tilde{\Gamma}}(\mathbf{q}) \left| \sum_{\alpha} \boldsymbol{\xi}_{\alpha} \mathcal{D}_{\alpha} + i \sum_{\alpha\beta} q_{\alpha} \boldsymbol{\xi}_{\beta} \mathcal{Q}_{\alpha\beta} \right. \\ &\left. + \frac{e}{2m\omega} \sum_{\alpha} [q \times \boldsymbol{\xi}]_{\alpha} \hat{\mathcal{M}}_{\alpha} \right| \Psi_0 \rangle, \quad (12) \end{aligned}$$

где $\mathcal{D} = -e \sum_j \mathbf{r}_j$ — электродипольный момент, $\mathcal{Q}_{\alpha\beta} = -(e/2) \sum_j r_{j\alpha} r_{j\beta}$ — электроквадрольный момент, $\hat{\mathcal{M}} = \sum_j \hat{\mathcal{M}}_j$ — магнитный момент системы. При

выводе (12) было учтено, что матричный элемент не зависит от выбора нулевого узла 0 , т. е. можно заменить $0 \rightarrow \mathbf{R}$ и ввести суммирование $(1/N) \sum_{\mathbf{R}}$.

Ввиду малости $q \ll (1/a)$ заменим $\delta_{\mathbf{k},\mathbf{q}}$ на $\delta_{\mathbf{k},0}$. Из (8) и (12) тогда получаем

$$W(0 \rightarrow \tilde{\Gamma}(0)) = \gamma(\omega) \sum_{\tilde{M}} \left| \langle \Psi_{\tilde{M}}^{\tilde{\Gamma}}(0) \left| \sum_{\alpha} \xi_{\alpha} \mathcal{D}_{\alpha} \right. \right\rangle + i \sum_{\alpha\beta} q_{\alpha} \xi_{\beta} \mathcal{Q}_{\alpha\beta} + \frac{e}{2m\omega} \sum_{\alpha} [q \times \xi]_{\alpha} \hat{\mathcal{M}}_{\alpha} \left| \Psi_0^{B_{1g}} \right\rangle \right|^2, \quad (13)$$

где $\gamma(\omega) = \alpha(\omega)\omega^2(A^2/c^2)$. Хотя, вообще говоря, $\Psi_{\tilde{M}}^{\tilde{\Gamma}}(\mathbf{q})$ не аналитична в точке $q = 0$, ее можно разложить в ряд по q при заданном направлении q . При этом сумма в (13), как легко доказать, не зависит от направления стремления q к нулю.

2.1. Электродипольные переходы. Поскольку $\mathcal{D}_x, \mathcal{D}_y$ преобразуются по E_u , а \mathcal{D}_z — по A_{2u} , то электродипольные переходы (ЭД) из основного состояния (типа B_{1g}) возможны лишь в состоянии $\tilde{\Gamma} = E_u$ или B_{2u} . Из (13), сохраняя лишь ЭД-вклад, находим

$$W(0 \rightarrow E_u(0)) = \gamma(\omega) C_2^2 (\xi_x^2 + \xi_y^2);$$

$$W(0 \rightarrow B_{2u}(0)) = \gamma(\omega) C_1^2 \xi_z^2, \quad (14)$$

где

$$C_1 = \left| \langle B_{2u}(0) | \mathcal{D}_z | B_{1g} \rangle \right|, \quad C_2 = \left| \langle E_u(0) | \mathcal{D} | B_{1g} \rangle \right|.$$

2.2. Дипольно-запрещенные переходы. Вводя неприводимые компоненты $\mathcal{Q}^{A_{1g}} = \mathcal{Q}_{zz}$, $\mathcal{Q}^{A_{1g}} = \mathcal{Q}_{xx} + \mathcal{Q}_{yy}$, $\mathcal{Q}^{B_{1g}} = \mathcal{Q}_{xx} - \mathcal{Q}_{yy}$, $\mathcal{Q}^{B_{2g}} = \mathcal{Q}_{xy}$, $\mathcal{Q}_{1,2}^{E_g} = (\mathcal{Q}_{xz}, \mathcal{Q}_{yz})$, $M^{A_{2g}} = M_z$, $M_{1,2}^{E_g} = (M_x, M_y)$, находим

$$\sum_{\alpha\beta} q_{\alpha} \xi_{\beta} \mathcal{Q}_{\alpha\beta} = \frac{1}{2} q_x \xi_x (\mathcal{Q}^{A_{1g}} + \mathcal{Q}^{B_{1g}}) + \frac{1}{2} q_y \xi_y (\mathcal{Q}^{A_{1g}} - \mathcal{Q}^{B_{1g}}) + q_z \xi_z \mathcal{Q}^{A_{1g}} + (q_x \xi_y + q_y \xi_x) \mathcal{Q}^{B_{2g}} + (q_x \xi_z + q_z \xi_x) \mathcal{Q}_1^{E_g} + (q_y \xi_z + q_z \xi_y) \mathcal{Q}_2^{E_g}.$$

Также имеем

$$\sum_{\alpha} [q \times \xi]_{\alpha} \hat{\mathcal{M}}_{\alpha} = (q_y \xi_z - q_z \xi_y) \hat{\mathcal{M}}_x^{E_g} + (q_z \xi_x - q_x \xi_z) \hat{\mathcal{M}}_y^{E_g} + (q_x \xi_y - q_y \xi_x) \hat{\mathcal{M}}_z^{A_{2g}}.$$

Применяя теорему Вигнера–Эккарта–Костера и используя таблицы коэффициентов Клебша–Гордана для группы \mathcal{D}_{4h} , нетрудно получить

$$W(0 \rightarrow A_{1g}(0)) = \gamma(\omega) \frac{C_3^2}{4} (q_x \xi_x - q_y \xi_y)^2;$$

$$W(0 \rightarrow A_{2g}(0)) = \gamma(\omega) C_4^2 (q_x \xi_y + q_y \xi_x)^2;$$

$$W(0 \rightarrow B_{1g}(0)) = \gamma(\omega) \left| \frac{C_5}{2} (q_x \xi_x + q_y \xi_y) + C_6 q_z \xi_z \right|^2;$$

$$W(0 \rightarrow B_{2g}(0)) = \gamma(\omega) \left(\frac{e}{2m\omega} \right)^2 C_7^2 (q_x \xi_y - q_y \xi_x)^2;$$

$$W(0 \rightarrow E_g(0)) = \gamma(\omega) \left\{ C_{11}^2 [(q_x \xi_z + q_z \xi_x)^2 + (q_y \xi_z + q_z \xi_y)^2] + \left(\frac{e}{2m\omega} \right)^2 |C_{10}|^2 \times [(q_x \xi_z - q_z \xi_x)^2 + (q_y \xi_z - q_z \xi_y)^2] \right\}, \quad (15)$$

где $C_{11}^2 = C_8^2 + C_9^2$. Константы C_7^2 и $|C_{10}|^2$ содержат только магнитно-дипольный вклад (MD), остальные константы C_i^2 — только электроквадрупольный (EQ). Явные выражения для этих констант мы здесь не выписываем. При вычислении $W(0 \rightarrow E_g(0))$ мы пренебрегли смешанным EQ-MD-вкладом.

Выведенные формулы описывают ориентационные (от направления \mathbf{q}) и поляризационные (от направления ξ) зависимости вероятностей дипольно-запрещенных фотопереходов всех типов $E_0(B_{1g} \rightarrow E_T(0))$. Из (15) видно, что разные типы переходов имеют разные ориентационные и поляризационные зависимости. Поэтому выведенные формулы могут быть использованы в спектроскопических исследованиях для идентификации переходов.

3. Влияние внешнего электрического поля на дипольно-запрещенные фотопереходы

ЭД-переходы из основного состояния типа B_{1g} в четные экситонные состояния $\tilde{\Gamma}(0) = \Gamma_g(0)$ запрещены. Однако во внешнем электрическом поле \mathcal{E} к экситонному $\Psi_M^{\Gamma_g}(0)$ и основным состояниям $\Psi_0^{B_{1g}}$ примешиваются нечетные состояния $\Psi_{M'}^{\Gamma_u}(0)$. В первом приближении теории возмущений имеем

$$\Psi_M = \Psi_M^{\Gamma_g}(0) + \sum_{\Gamma_u M'} \frac{\langle \Gamma_u M' | e \mathcal{E} \mathbf{R} | \Gamma_g M \rangle}{\Delta(\Gamma_u; \Gamma_g)} \Psi_{M'}^{\Gamma_u}(0),$$

$$\Psi_0 = \Psi_0^{B_{1g}} + \sum_{\Gamma_u M'} \frac{\langle \Gamma_u M' | e \mathcal{E} \mathbf{R} | 0 B_{1g} \rangle}{\delta(\Gamma_u; 0)} \Psi_{M'}^{\Gamma_u}(0),$$

где

$$\Delta(\Gamma_u; \Gamma_g) = E_{\Gamma_u}(0) - E_{\Gamma_g}(0),$$

$$\delta(\Gamma_u; 0) = E_{\Gamma_u}(0) - E_0,$$

$$\mathbf{R} = \sum_j \mathbf{r}_j.$$

Матричный элемент ЭД-перехода (в первом порядке по \mathcal{E}) равен

$$\begin{aligned} \langle \Psi_M | \xi \mathcal{D} | \Psi_0 \rangle &= -e \langle \Psi_M | \xi \mathbf{R} | \Psi_0 \rangle \\ &= -e^2 \sum_{\Gamma_u M'} \left[\frac{\langle \Gamma_g M | \xi \mathbf{R} | \Gamma_u M' \rangle \langle \Gamma_u M' | \xi \mathbf{R} | 0 B_{1g} \rangle}{\Delta(\Gamma_u; \Gamma_g)} \right. \\ &\quad \left. + \frac{\langle \Gamma_g M | \xi \mathbf{R} | \Gamma_u M' \rangle \langle \Gamma_u M' | \xi \mathbf{R} | 0 B_{1g} \rangle}{\delta(\Gamma_u; 0)} \right]. \end{aligned}$$

Для вероятностей ЭД-переходов

$$W(0 \rightarrow \Gamma_g(0)) = \gamma(\omega) \sum_M \left| \langle \Psi_M | \xi \mathcal{D} | \Psi_0^{B_{1g}} \rangle \right|^2,$$

используя теорему Вигнера–Эккарта–Костера, находим

$$W(0 \rightarrow A_{1g}(0)) = \gamma(\omega) \frac{e^4}{2} J_1^2(A_{1g}) (\mathcal{E}_x \xi_x - \mathcal{E}_y \xi_y)^2,$$

$$W(0 \rightarrow A_{2g}(0)) = \gamma(\omega) \frac{e^4}{2} J_2^2(A_{2g}) (\mathcal{E}_x \xi_y + \mathcal{E}_y \xi_x)^2,$$

$$\begin{aligned} W(0 \rightarrow B_{1g}(0)) &= \gamma(\omega) e^4 \\ &\times \left[\frac{J_3(B_{1g})}{\sqrt{2}} (\mathcal{E}_x \xi_x + \mathcal{E}_y \xi_y) + K(B_{1g}) \mathcal{E}_z \xi_z \right]^2, \end{aligned}$$

$$W(0 \rightarrow B_{2g}(0)) = \gamma(\omega) \frac{e^4}{2} J_5^2(B_{2g}) (\mathcal{E}_x \xi_y - \mathcal{E}_y \xi_x)^2,$$

$$\begin{aligned} W(0 \rightarrow E_g(0)) &= \gamma(\omega) e^4 \left[J_6^2 \mathcal{E}_z^2 (\xi_x^2 + \xi_y^2) \right. \\ &\quad \left. + J_7^2 (\mathcal{E}_x^2 + \mathcal{E}_y^2) \xi_z^2 + 2J_8 \mathcal{E}_z \xi_z (\mathcal{E}_x \xi_x + \mathcal{E}_y \xi_y) \right], \quad (16) \end{aligned}$$

где

$$J_i(\Gamma_g) = \sum_{E_u} F(\Gamma_g; E_u) \left[\frac{1}{\Delta(E_u; \Gamma_g)} \pm \frac{1}{\delta(E_u; 0)} \right]$$

$$(\text{“+” } i = 1, 2, 3, 4; \quad \text{“-” } i = 5),$$

$$F(\Gamma_g; E_u) = \langle \Gamma_g | \mathbf{R} | E_u \rangle \langle E_u | \mathbf{R} | 0 B_{1g} \rangle,$$

$$K(B_{1g}) = \sum_{B_{2u}} F(B_{1g}; B_{2u}) \left[\frac{1}{\Delta(B_{2u}; B_{1g})} + \frac{1}{\delta(B_{2u}; 0)} \right],$$

$$F(B_{1g}; B_{2u}) = \langle B_{1g} | \mathbf{R} | B_{2u} \rangle \langle B_{2u} | \mathbf{R} | 0 B_{1g} \rangle.$$

Выражения для параметров J_6 , J_7 и J_8 не приводим ввиду их громоздкости. В таблице представлены результаты для некоторых частных конфигураций \mathcal{E} и ξ . Заметим, что при расчете $W(0 \rightarrow E_g(0))$ пренебрегалось расщеплением уровня $E_g(0)$ в электрическом поле (т.е. определялась суммарная интенсивность компонент расщепления).

Вероятности переходов в таблице согласуются с правилами отбора, установленными в [18], но в [18] не учитывался переход в экситонное состояние типа A_{2g} . Авторы [18], ссылаясь на теоретические расчеты [21], считали, что переход в состояние A_{2g} не попадает в

Вероятности дипольно-запрещенных фотопереходов $E_0(B_{1g}) \rightarrow E_{\Gamma_g}(0)$, индуцируемых электрическим полем \mathcal{E} ($\Phi = (1/2)\gamma(\omega)e^4$)

$\mathcal{E} \xi$	ξ_x	ξ_y	ξ_z
\mathcal{E}_x	$W(A_{1g}) = \Phi J_1^2 \mathcal{E}^2$ $W(B_{1g}) = \Phi J_3^2 \mathcal{E}^2$	$W(A_{2g}) = \Phi J_2^2 \mathcal{E}^2$ $W(B_{2g}) = \Phi J_5^2 \mathcal{E}^2$	$W(E_g) = 2\Phi J_7^2 \mathcal{E}^2$
\mathcal{E}_y	$W(A_{2g}) = \Phi J_2^2 \mathcal{E}^2$ $W(B_{2g}) = \Phi J_5^2 \mathcal{E}^2$	$W(A_{1g}) = \Phi J_1^2 \mathcal{E}^2$ $W(B_{1g}) = \Phi J_3^2 \mathcal{E}^2$	$W(E_g) = 2\Phi J_7^2 \mathcal{E}^2$
\mathcal{E}_z	$W(B_{2g}) = 2\Phi J_5^2 \mathcal{E}^2$	$W(B_{1g}) = 2\Phi J_3^2 \mathcal{E}^2$	$W(B_{1g}) = 2\Phi J_4^2 \mathcal{E}^2$

Примечание. Малые EQ - и MD -вклады, не зависящие от поля \mathcal{E} , опущены.

щель переноса заряда и поэтому не может наблюдаться. Однако разные теоретические расчеты приводят к разным результатам. Например, в [11] расчет в рамках шестизонной модели Хаббарда показывает, что нижайшим экситонным состоянием ниже края полосы переноса заряда должно быть как раз состояние A_{2g} . Поэтому исключать из рассмотрения переход $0 \rightarrow A_{2g}(0)$ не следует.

В работе [18] методом электроотражения для $\text{La}_2\text{CuO}_{4+y}$ ($y = 0.016$) авторы обнаружили “возгорание” в электрическом поле двух пиков поглощения: 1.4 eV (при $\mathcal{E} \perp C_4$) и 1.6 eV (при $\mathcal{E} \parallel C_4$). Эти пики авторы однозначно идентифицировали с переходами $B_{1g} \rightarrow B_{2g}$ и $B_{1g} \rightarrow E_g$ соответственно. Однако первая из этих идентификаций не является однозначной, так как при $\mathcal{E} \parallel x$, $\xi \parallel y$ (или $\mathcal{E} \parallel y$, $\xi \parallel x$) разрешены два типа переходов: $B_{1g} \rightarrow B_{2g}$ и $B_{1g} \rightarrow A_{2g}$.

Для того чтобы различить эти два перехода, предлагаем провести эксперимент, направляя электрическое поле \mathcal{E} вдоль биссектрисы между осями x и y , а плоскость поляризации вращать вокруг оси z (луч света при этом должен быть перпендикулярен плоскостям CuO_2). Если через ϕ обозначить угол между ξ и \mathcal{E} , то из (16) находим

$$W(0 \rightarrow A_{2g}(0)) = \frac{e^4}{2} \gamma(\omega) J_2^2 \mathcal{E}^2 \cos^2(\phi);$$

$$W(0 \rightarrow B_{2g}(0)) = \frac{e^4}{2} \gamma(\omega) J_5^2 \mathcal{E}^2 \sin^2(\phi),$$

т.е. получаем различные поляризационные зависимости для A_{2g} и B_{2g} .

Таким образом, в работе проведен симметричный анализ синглетных экситонных состояний двухмерного кристалла CuO_2 с переносом дырки от одной элементарной ячейки к ближайшим соседним ячейкам с образованием в них “двухдырочных” состояний. Предложен теоретико-групповой способ определения экситонных синглетов для произвольного волнового вектора \mathbf{k} . Способ может быть использован для качественной проверки расчетов положения и дисперсии энергетических зон экситонов с переносом заряда в $2D$ -модели. Выведенные формулы для зависимостей вероятностей дипольно-запрещенных фотопереходов в экситонные состояния разной симме-

трии от направления распространения и поляризации световой волны могут быть использованы для однозначной идентификации этих переходов.

Теоретически рассмотрено влияние внешнего электрического поля на дипольно-запрещенные фотопереходы и определены ориентационные и поляризационные зависимости возгорающихся переходов всех типов в $2D$ -модели. Эти зависимости различны для разных типов перехода. Показано, что идентификация возгорающегося пика поглощения 1.4 eV в La_2CuO_4 с переходом $B_{1g} \rightarrow B_{2g}$, осуществленная в [18], не является однозначной. Предложен способ видоизменения эксперимента, позволяющий отличить переход $B_{1g} \rightarrow B_{2g}$ от $B_{1g} \rightarrow A_{2g}$.

Хотя настоящая работа посвящена экситонам с переносом заряда, полученные в п. 2 и 3 поляризационные и ориентационные зависимости вероятностей переходов носят более общий характер, так как обусловлены только симметрией экситонных состояний. В частности, эти зависимости справедливы для одноячеечных экситонов типа френкелевских.

Использование выведенных формул при интерпретации спектроскопических данных в La_2CuO_4 и других соединениях, содержащих плоские слои CuO_2 , позволит более полно и точно идентифицировать экситонные возбуждения.

Список литературы

- [1] J.P. Falck, A. Levy, M.A. Kastner, R.J. Birgeneau. Phys. Rev. Lett. **69**, 7, 1109 (1992).
- [2] J.D. Perkins, J.M. Graybeal, M.A. Kastner, R.J. Birgeneau, J.P. Falck, M. Greven. Phys. Rev. Lett. **71**, 10, 1621 (1993).
- [3] R. Liu, D. Salamon, M.V. Klein, S.L. Cooper, W.C. Lee, S.-W. Cheong, D.M. Ginsberg. Phys. Rev. Lett. **71**, 22, 3709 (1993).
- [4] Y.Y. Wang, F.C. Zhang, V.P. Dravid, K.K. Ng, M.V. Klein, S.E. Schnatterly, L.L. Miller. Phys. Rev. Lett. **77**, 1809 (1996).
- [5] J. Fink, R. Neudert, H.C. Schmelz, T. Boeske, O. Knauff, S. Haffner, M. Knupfer, M.S. Golden, G. Krabbes, H. Eisaki, S. Ushida. Physica **B237–238**, 93 (1997).
- [6] F.C. Zhang, T.M. Rice. Phys. Rev. **B37**, 3759 (1988).
- [7] C.-X. Chen, H.-B. Schuettler, A.J. Fedro. Phys. Rev. **B41**, 4, 2581 (1990).
- [8] J. Wagner, W. Hanke, D. Scalpino. Phys. Rev. **B43**, 13, 10 517 (1991).
- [9] V.I. Belinicher, A.L. Chernyshev, L.V. Popovich. Phys. Rev. **B50**, 18, 13 768 (1994).
- [10] C. Vermeulen, W. Barford. Cond-mat/9502096, 23 Feb. (1995).
- [11] M.E. Simon, A.A. Aligia, C.D. Batista, E.R. Gagliano, F. Lema. Phys. Rev. **B54**, 6, R3780 (1996).
- [12] F.C. Zhang, K.K. Ng. Cong-mat/9804072, 6 Apr. (1998).
- [13] A.W. Overhauser. Phys. Rev. **101**, 1702 (1956).
- [14] В.И. Черепанов. ФТТ **3**, 7, 2183 (1961); В.И. Черепанов, В.В. Дружинин, Ю.А. Каргаполов, А.Е. Никифоров. ФТТ **3**, 2987 (1961); Sov. Phys. Sol. St. **3**, 2179 (1962).
- [15] С.А. Москаленко, А.И. Бобрышева. ФТТ **4**, 8, 1994 (1962).
- [16] Е.Ф. Гросс, Б.П. Захарченя, Л.М. Канская. ФТТ **3**, 3, 972 (1961).

- [17] J.L. Deiss, A. Daunois, S. Nikitine. Solid. State Commun. **8**, 521 (1970); J.L. Deiss, A. Daunois. Surface Science. **37**, 804 (1973).
- [18] J.P. Falck, J.D. Perkins. Phys. Rev. **B49**, 6246 (1994).
- [19] Д.И. Блохинцев. Основы квантовой механики. Наука, М. (1983). С. 405.
- [20] А.Г. Жилич, В.И. Черепанов, Ю.А. Каргаполов. ФТТ **3**, 1812 (1961).
- [21] H. Eskes, L.H. Tieng, G.A. Sawatzky. Phys. Rev. **B41**, 1, 288 (1990).